

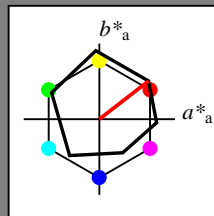
Eingabe: Farbmétrisches Offset-Reflektiv-System ORS18

für Buntton $h^* = lab^*h = 38/360 = 0.105$ lab^*tch und lab^*nch

D50: Buntton O

LCH*Ma: 48 82 38

olv*Ma: 1.0 0.0 0.0



ORS18; adaptierte CIELAB-Daten

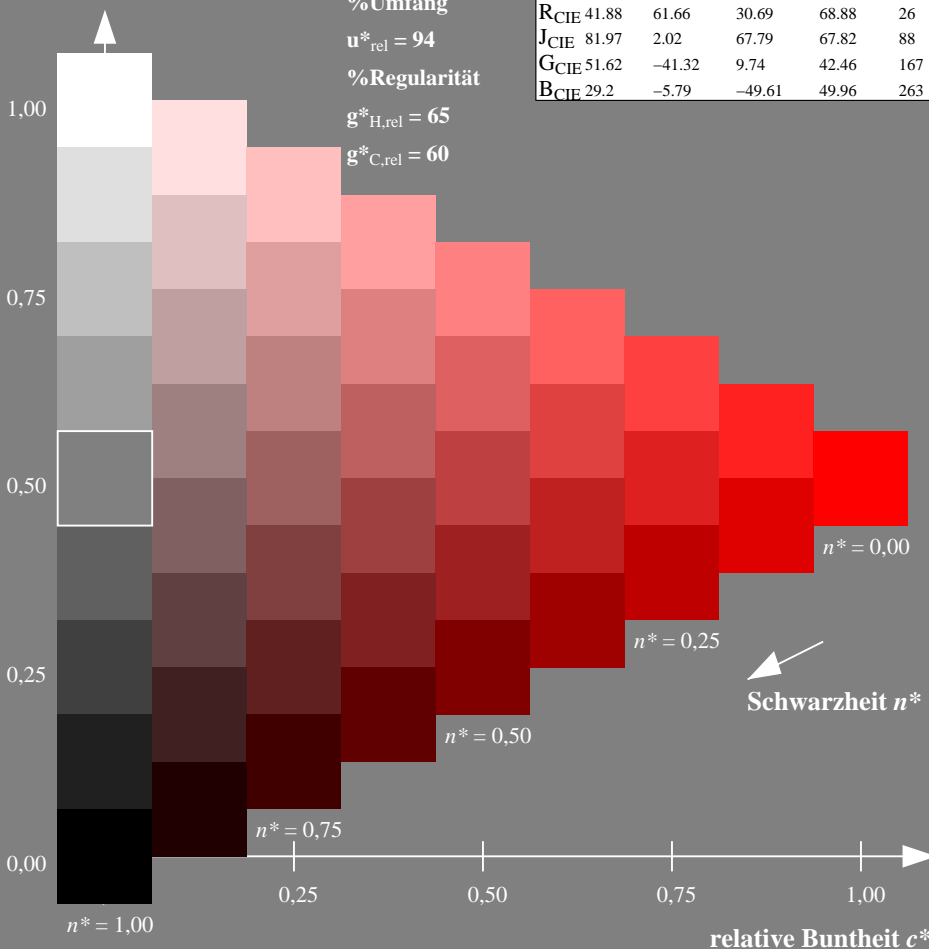
	$L^*=L^*_a$	a^*_a	b^*_a	$C^*_{ab,a}$	$h^*_{ab,a}$
O _{Ma}	47.94	65.05	50.54	82.38	38
Y _{Ma}	91.0	-4.72	90.58	90.7	93
L _{Ma}	50.9	-63.18	34.98	72.22	151
C _{Ma}	56.99	-39.34	-48.1	62.16	231
V _{Ma}	25.72	30.89	-44.4	54.09	305
M _{Ma}	49.99	75.76	-4.64	75.9	356
N _{Ma}	18.09	0.0	0.0	0.0	0
W _{Ma}	95.46	0.0	0.0	0.0	0
R _{CIE}	41.88	61.66	30.69	68.88	26
J _{CIE}	81.97	2.02	67.79	67.82	88
G _{CIE}	51.62	-41.32	9.74	42.46	167
B _{CIE}	29.2	-5.79	-49.61	49.96	263

Dreiecks-Helligkeit t^*

%Umfang

 $u^*_{rel} = 94$

%Regularität

 $g^*_{H,rel} = 65$ $g^*_{C,rel} = 60$ 

PG900-7, 9stufige Reihen für konstanten CIELAB Buntton 38/360 = 0.105 (links)

BAM-Prüfvorlage PG90; Farbmétrik-Systeme ORS18 & ORS18 input: olv* setrgbcolor

D50: 9 und 16stufige Farbreihen für 10 Bunttöne

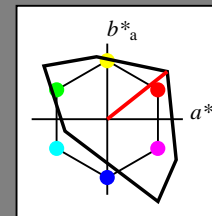
Ausgabe: Farbmétrisches Fernseh-Licht-System TLS00

für Buntton $h^* = lab^*h = 38/360 = 0.107$ lab^*tch und lab^*nch

D50: Buntton O

LCH*Ma: 54 101 38

olv*Ma: 1.0 0.0 0.0



TLS00; adaptierte CIELAB-Daten

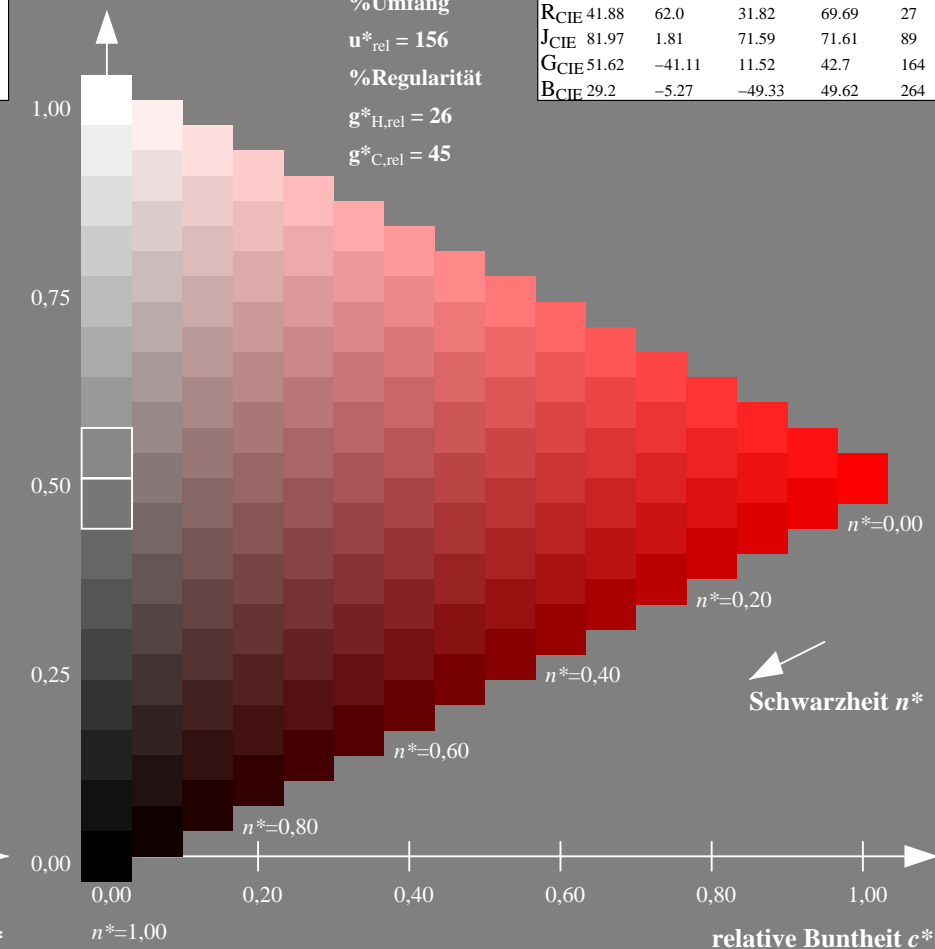
	$L^*=L^*_a$	a^*_a	b^*_a	$C^*_{ab,a}$	$h^*_{ab,a}$
O _{Ma}	54.19	79.36	63.0	101.33	38
Y _{Ma}	93.44	-14.18	82.59	83.8	100
L _{Ma}	82.82	-83.73	70.41	109.41	140
C _{Ma}	85.22	-55.9	-15.78	58.1	196
V _{Ma}	25.61	67.05	-108.87	127.87	302
M _{Ma}	58.76	91.18	-53.69	105.82	330
N _{Ma}	0.01	0.0	0.0	0.0	0
W _{Ma}	95.41	0.0	0.0	0.0	0
R _{CIE}	41.88	62.0	31.82	69.69	27
J _{CIE}	81.97	1.81	71.59	71.61	89
G _{CIE}	51.62	-41.11	11.52	42.7	164
B _{CIE}	29.2	-5.27	-49.33	49.62	264

Dreiecks-Helligkeit t^*

%Umfang

 $u^*_{rel} = 156$

%Regularität

 $g^*_{H,rel} = 26$ $g^*_{C,rel} = 45$ 

16stufige Reihen für konstanten CIELAB Buntton 38/360 = 0.107 (rechts)

output: Startup (S) data dependend

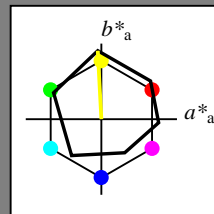
Eingabe: Farbmétrisches Offset-Reflektiv-System ORS18

für Buntton $h^* = lab^*h = 93/360 = 0.258$ lab^*tch und lab^*nch

D50: Buntton Y

LCH*Ma: 91 91 93

olv*Ma: 1.0 1.0 0.0

Dreiecks-Helligkeit t^* 

%Umfang

 $u^*_{rel} = 94$

%Regularität

 $g^*_{H,rel} = 65$ $g^*_{C,rel} = 60$

ORS18; adaptierte CIELAB-Daten

	$L^*=L^*_a$	a^*_a	b^*_a	$C^*_{ab,a}$	$h^*_{ab,a}$
O _{Ma}	47.94	65.05	50.54	82.38	38
Y _{Ma}	91.0	-4.72	90.58	90.7	93
L _{Ma}	50.9	-63.18	34.98	72.22	151
C _{Ma}	56.99	-39.34	-48.1	62.16	231
V _{Ma}	25.72	30.89	-44.4	54.09	305
M _{Ma}	49.99	75.76	-4.64	75.9	356
N _{Ma}	18.09	0.0	0.0	0.0	0
W _{Ma}	95.46	0.0	0.0	0.0	0
R _{CIE}	41.88	61.66	30.69	68.88	26
J _{CIE}	81.97	2.02	67.79	67.82	88
G _{CIE}	51.62	-41.32	9.74	42.46	167
B _{CIE}	29.2	-5.79	-49.61	49.96	263

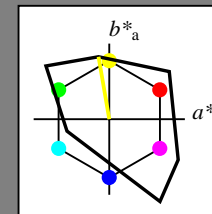
Ausgabe: Farbmétrisches Fernseh-Licht-System TLS00

für Buntton $h^* = lab^*h = 100/360 = 0.277$ lab^*tch und lab^*nch

D50: Buntton Y

LCH*Ma: 93 84 100

olv*Ma: 1.0 1.0 0.0

Dreiecks-Helligkeit t^* 

%Umfang

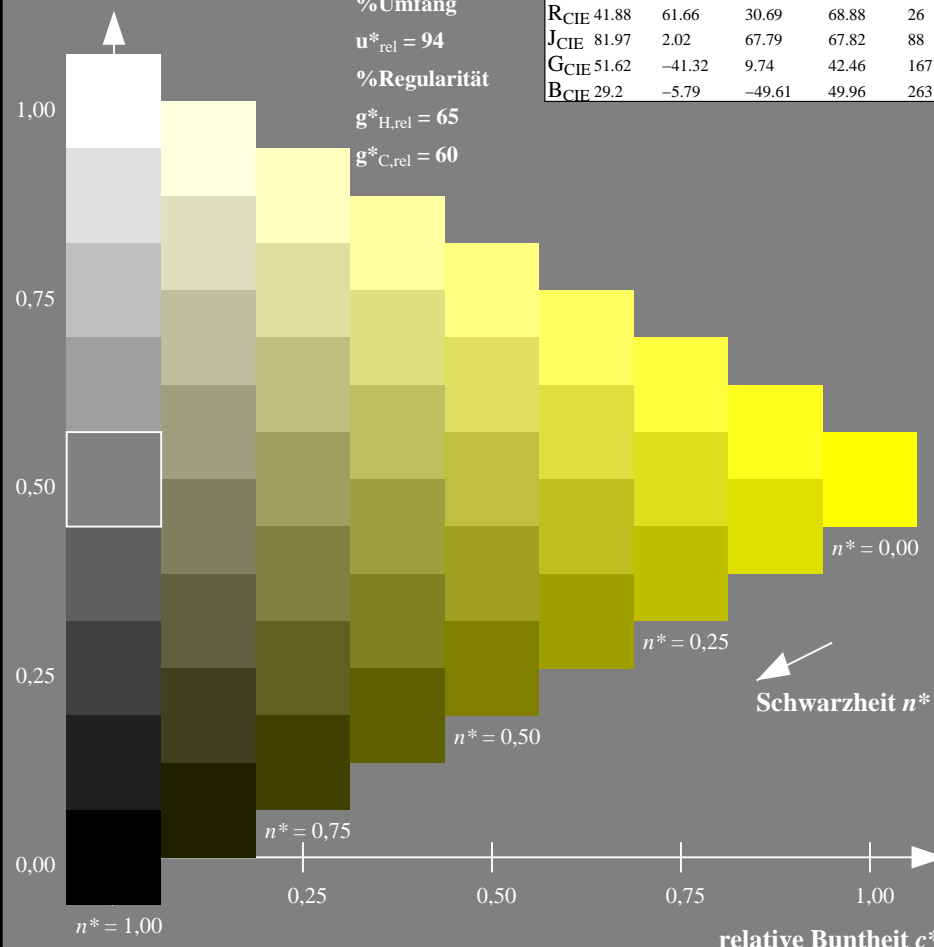
 $u^*_{rel} = 156$

%Regularität

 $g^*_{H,rel} = 26$ $g^*_{C,rel} = 45$

TLS00; adaptierte CIELAB-Daten

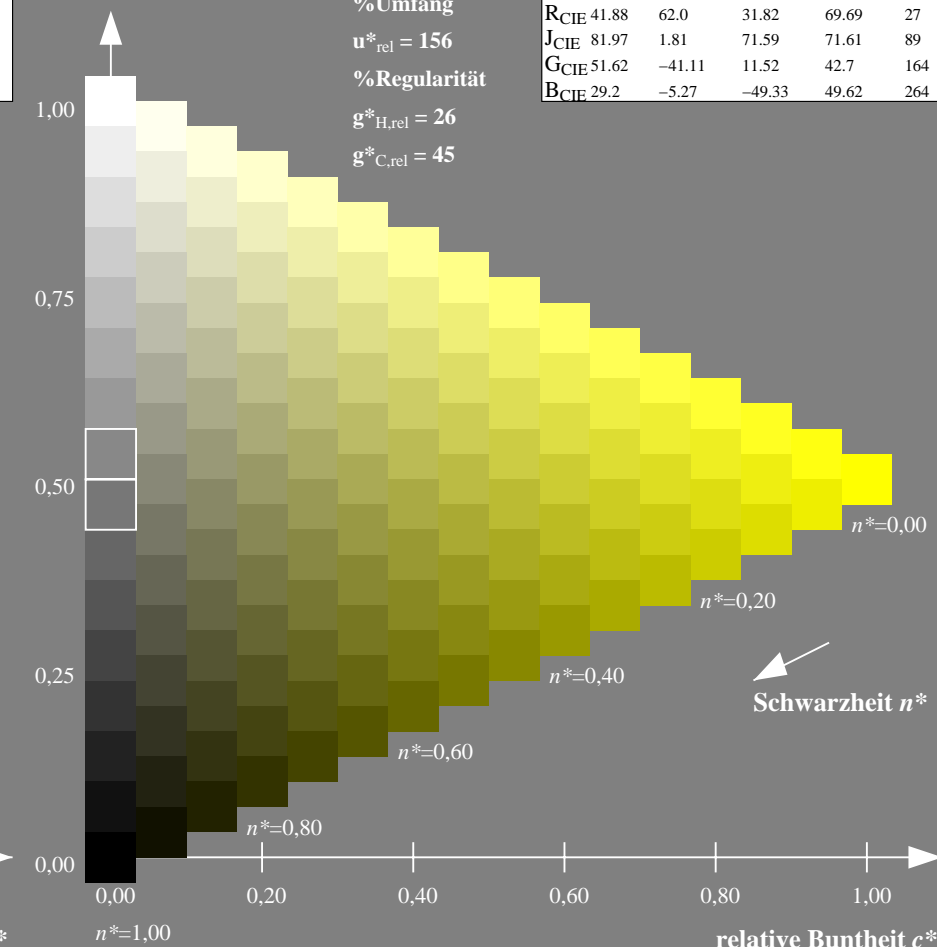
	$L^*=L^*_a$	a^*_a	b^*_a	$C^*_{ab,a}$	$h^*_{ab,a}$
O _{Ma}	54.19	79.36	63.0	101.33	38
Y _{Ma}	93.44	-14.18	82.59	83.8	100
L _{Ma}	82.82	-83.73	70.41	109.41	140
C _{Ma}	85.22	-55.9	-15.78	58.1	196
V _{Ma}	25.61	67.05	-108.87	127.87	302
M _{Ma}	58.76	91.18	-53.69	105.82	330
N _{Ma}	0.01	0.0	0.0	0.0	0
W _{Ma}	95.41	0.0	0.0	0.0	0
R _{CIE}	41.88	62.0	31.82	69.69	27
J _{CIE}	81.97	1.81	71.59	71.61	89
G _{CIE}	51.62	-41.11	11.52	42.7	164
B _{CIE}	29.2	-5.27	-49.33	49.62	264



PG900-7, 9stufige Reihen für konstanten CIELAB Buntton 93/360 = 0.258 (links)

BAM-Prüfvorlage PG90; Farbmétrik-Systeme ORS18 & ORS18 input: olv* setrgbcolor

D50: 9 und 16stufige Farbreihen für 10 Bunttöne



16stufige Reihen für konstanten CIELAB Buntton 100/360 = 0.277 (rechts)

output: Startup (S) data dependend

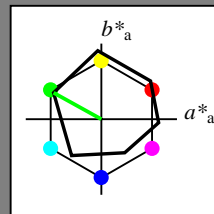
Eingabe: Farbmétrisches Offset-Reflektiv-System ORS18

für Buntton $h^* = lab^*h = 151/360 = 0.42$ lab^*tch und lab^*nch

D50: Buntton L

LCH*Ma: 51 72 151

olv*Ma: 0.0 1.0 0.0

Dreiecks-Helligkeit t^* 

%Umfang

 $u^*_{rel} = 94$

%Regularität

 $g^*_{H,rel} = 65$ $g^*_{C,rel} = 60$

ORS18; adaptierte CIELAB-Daten

	$L^*=L^*_a$	a^*_a	b^*_a	$C^*_{ab,a}$	$h^*_{ab,a}$
O _{Ma}	47.94	65.05	50.54	82.38	38
Y _{Ma}	91.0	-4.72	90.58	90.7	93
L _{Ma}	50.9	-63.18	34.98	72.22	151
C _{Ma}	56.99	-39.34	-48.1	62.16	231
V _{Ma}	25.72	30.89	-44.4	54.09	305
M _{Ma}	49.99	75.76	-4.64	75.9	356
N _{Ma}	18.09	0.0	0.0	0.0	0
W _{Ma}	95.46	0.0	0.0	0.0	0
R _{CIE}	41.88	61.66	30.69	68.88	26
J _{CIE}	81.97	2.02	67.79	67.82	88
G _{CIE}	51.62	-41.32	9.74	42.46	167
B _{CIE}	29.2	-5.79	-49.61	49.96	263

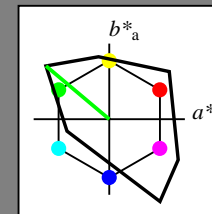
Ausgabe: Farbmétrisches Fernseh-Licht-System TLS00

für Buntton $h^* = lab^*h = 140/360 = 0.389$ lab^*tch und lab^*nch

D50: Buntton L

LCH*Ma: 83 109 140

olv*Ma: 0.0 1.0 0.0

Dreiecks-Helligkeit t^* 

%Umfang

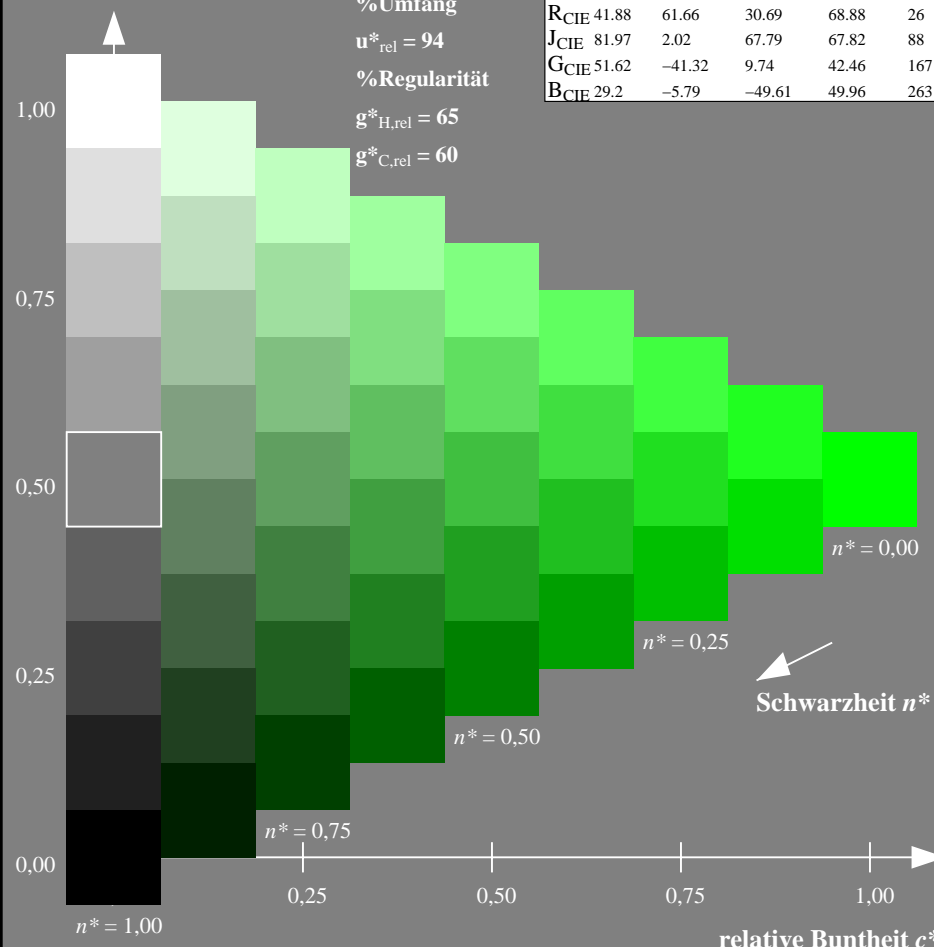
 $u^*_{rel} = 156$

%Regularität

 $g^*_{H,rel} = 26$ $g^*_{C,rel} = 45$

TLS00; adaptierte CIELAB-Daten

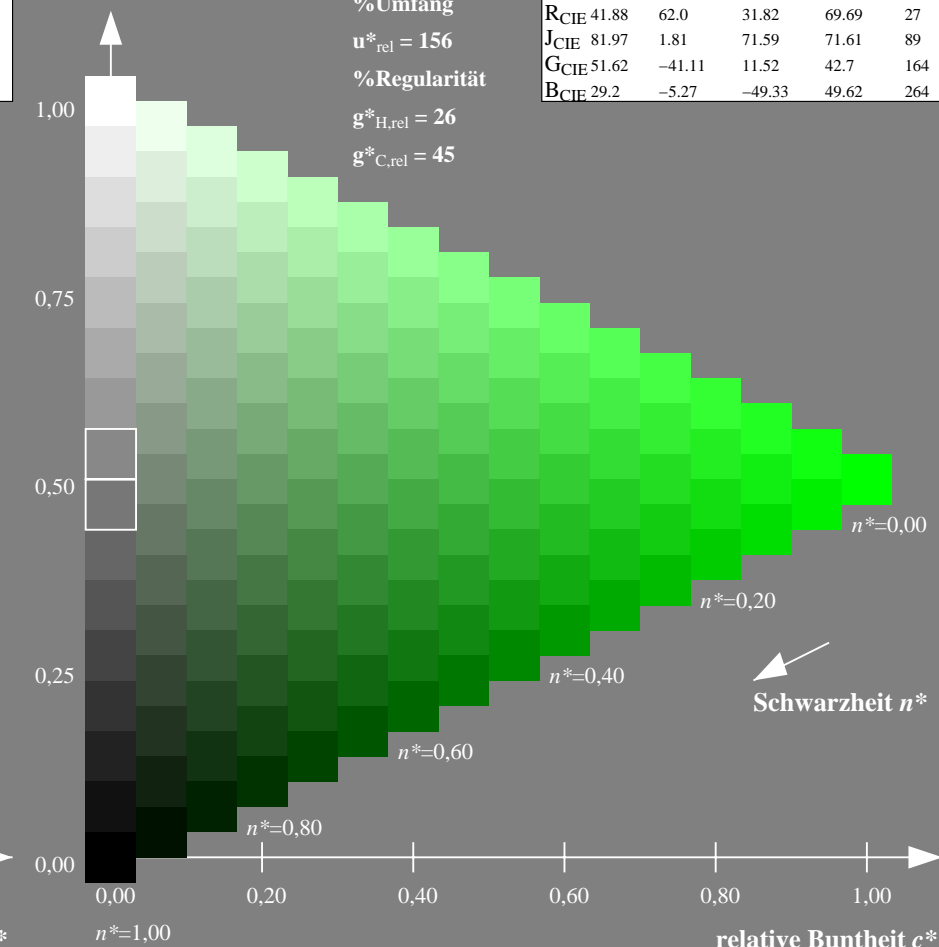
	$L^*=L^*_a$	a^*_a	b^*_a	$C^*_{ab,a}$	$h^*_{ab,a}$
O _{Ma}	54.19	79.36	63.0	101.33	38
Y _{Ma}	93.44	-14.18	82.59	83.8	100
L _{Ma}	82.82	-83.73	70.41	109.41	140
C _{Ma}	85.22	-55.9	-15.78	58.1	196
V _{Ma}	25.61	67.05	-108.87	127.87	302
M _{Ma}	58.76	91.18	-53.69	105.82	330
N _{Ma}	0.01	0.0	0.0	0.0	0
W _{Ma}	95.41	0.0	0.0	0.0	0
R _{CIE}	41.88	62.0	31.82	69.69	27
J _{CIE}	81.97	1.81	71.59	71.61	89
G _{CIE}	51.62	-41.11	11.52	42.7	164
B _{CIE}	29.2	-5.27	-49.33	49.62	264



PG900-7, 9stufige Reihen für konstanten CIELAB Buntton 151/360 = 0.42 (links)

BAM-Prüfvorlage PG90; Farbmétrik-Systeme ORS18 & ORS18 input: $olv^*setrgbcolor$

D50: 9 und 16stufige Farbreihen für 10 Bunttöne



16stufige Reihen für konstanten CIELAB Buntton 140/360 = 0.389 (rechts)

output: *Startup (S) data dependend*

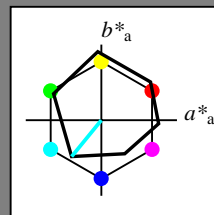
Eingabe: Farbmétrisches Offset-Reflektiv-System ORS18

für Buntton $h^* = lab^*h = 231/360 = 0.641$ lab^*tch und lab^*nch

D50: Buntton C

LCH*Ma: 57 62 231

olv*Ma: 0.0 1.0 1.0

Dreiecks-Helligkeit t^* 

%Umfang

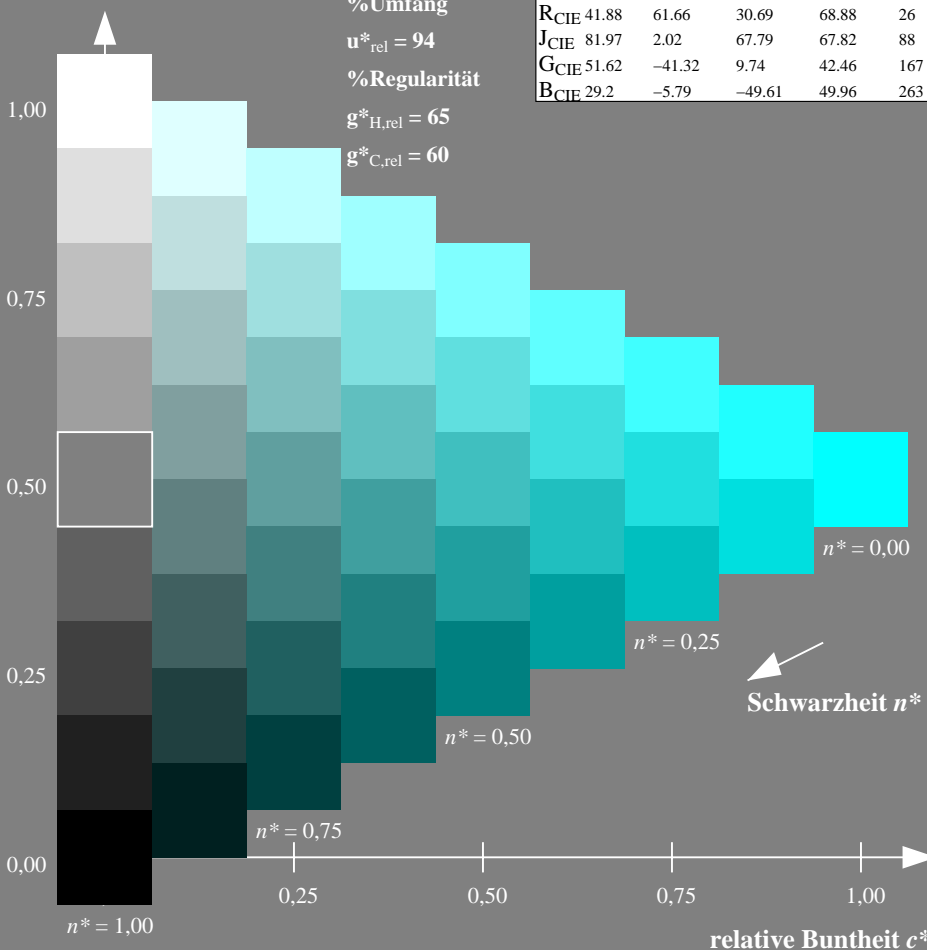
 $u^*_{rel} = 94$

%Regularität

 $g^*_{H,rel} = 65$ $g^*_{C,rel} = 60$

ORS18; adaptierte CIELAB-Daten

	$L^*=L^*_a$	a^*_a	b^*_a	$C^*_{ab,a}$	$h^*_{ab,a}$
O _{Ma}	47.94	65.05	50.54	82.38	38
Y _{Ma}	91.0	-4.72	90.58	90.7	93
L _{Ma}	50.9	-63.18	34.98	72.22	151
C _{Ma}	56.99	-39.34	-48.1	62.16	231
V _{Ma}	25.72	30.89	-44.4	54.09	305
M _{Ma}	49.99	75.76	-4.64	75.9	356
N _{Ma}	18.09	0.0	0.0	0.0	0
W _{Ma}	95.46	0.0	0.0	0.0	0
R _{CIE}	41.88	61.66	30.69	68.88	26
J _{CIE}	81.97	2.02	67.79	67.82	88
G _{CIE}	51.62	-41.32	9.74	42.46	167
B _{CIE}	29.2	-5.79	-49.61	49.96	263



PG900-7, 9stufige Reihen für konstanten CIELAB Buntton 231/360 = 0.641 (links)

BAM-Prüfvorlage PG90; Farbmétrik-Systeme ORS18 & ORS18 input: olv* setrgbcolor

D50: 9 und 16stufige Farbreihen für 10 Bunttöne

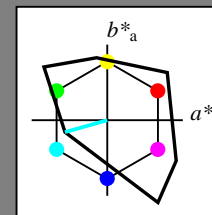
Ausgabe: Farbmétrisches Fernseh-Licht-System TLS00

für Buntton $h^* = lab^*h = 196/360 = 0.544$ lab^*tch und lab^*nch

D50: Buntton C

LCH*Ma: 85 58 196

olv*Ma: 0.0 1.0 1.0

Dreiecks-Helligkeit t^* 

%Umfang

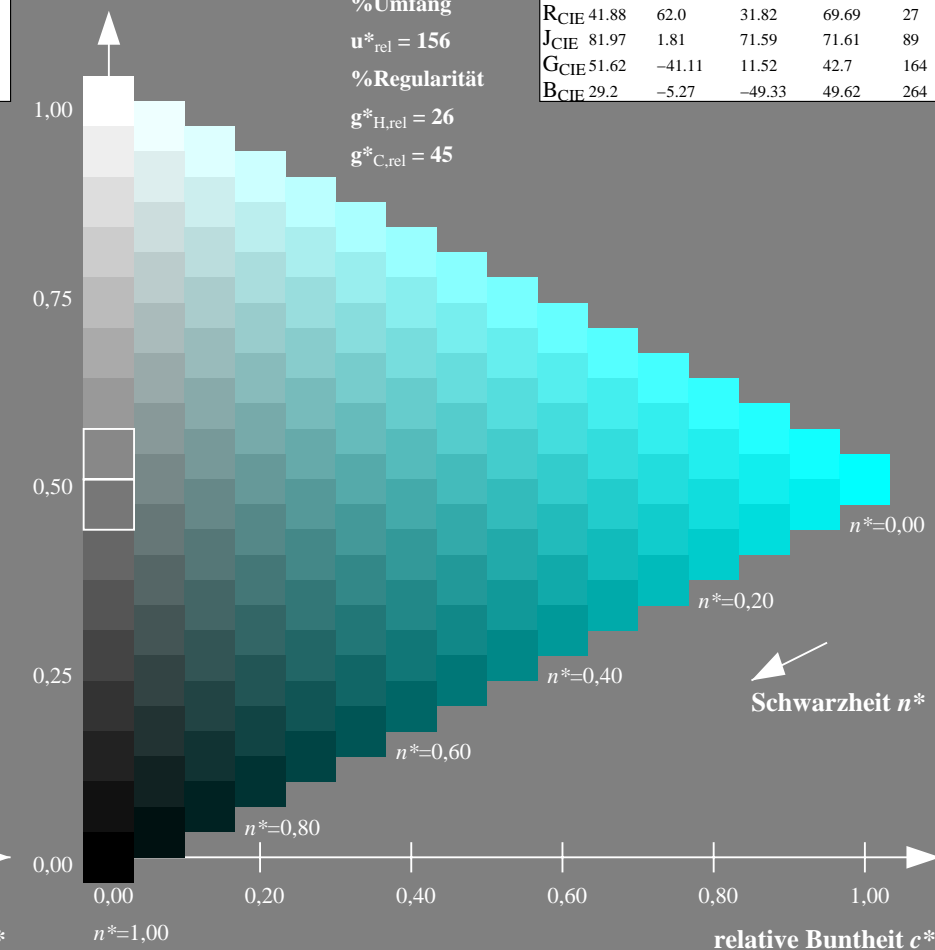
 $u^*_{rel} = 156$

%Regularität

 $g^*_{H,rel} = 26$ $g^*_{C,rel} = 45$

TLS00; adaptierte CIELAB-Daten

	$L^*=L^*_a$	a^*_a	b^*_a	$C^*_{ab,a}$	$h^*_{ab,a}$
O _{Ma}	54.19	79.36	63.0	101.33	38
Y _{Ma}	93.44	-14.18	82.59	83.8	100
L _{Ma}	82.82	-83.73	70.41	109.41	140
C _{Ma}	85.22	-55.9	-15.78	58.1	196
V _{Ma}	25.61	67.05	-108.87	127.87	302
M _{Ma}	58.76	91.18	-53.69	105.82	330
N _{Ma}	0.01	0.0	0.0	0.0	0
W _{Ma}	95.41	0.0	0.0	0.0	0
R _{CIE}	41.88	62.0	31.82	69.69	27
J _{CIE}	81.97	1.81	71.59	71.61	89
G _{CIE}	51.62	-41.11	11.52	42.7	164
B _{CIE}	29.2	-5.27	-49.33	49.62	264



16stufige Reihen für konstanten CIELAB Buntton 196/360 = 0.544 (rechts)

output: Startup (S) data dependend

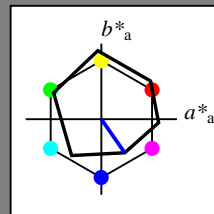
Eingabe: Farbmétrisches Offset-Reflektiv-System ORS18

für Buntton $h^* = lab^*h = 305/360 = 0.847$ lab^*tch und lab^*nch

D50: Buntton V

LCH*Ma: 26 54 305

olv*Ma: 0.0 0.0 1.0

Dreiecks-Helligkeit t^* 

%Umfang

 $u^*_{rel} = 94$

%Regularität

 $g^*_{H,rel} = 65$ $g^*_{C,rel} = 60$

ORS18; adaptierte CIELAB-Daten

	$L^*=L^*_a$	a^*_a	b^*_a	$C^*_{ab,a}$	$h^*_{ab,a}$
O _{Ma}	47.94	65.05	50.54	82.38	38
Y _{Ma}	91.0	-4.72	90.58	90.7	93
L _{Ma}	50.9	-63.18	34.98	72.22	151
C _{Ma}	56.99	-39.34	-48.1	62.16	231
V _{Ma}	25.72	30.89	-44.4	54.09	305
M _{Ma}	49.99	75.76	-4.64	75.9	356
N _{Ma}	18.09	0.0	0.0	0.0	0
W _{Ma}	95.46	0.0	0.0	0.0	0
R _{CIE}	41.88	61.66	30.69	68.88	26
J _{CIE}	81.97	2.02	67.79	67.82	88
G _{CIE}	51.62	-41.32	9.74	42.46	167
B _{CIE}	29.2	-5.79	-49.61	49.96	263

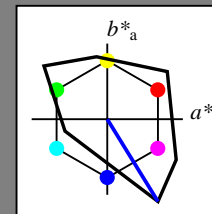
Ausgabe: Farbmétrisches Fernseh-Licht-System TLS00

für Buntton $h^* = lab^*h = 302/360 = 0.838$ lab^*tch und lab^*nch

D50: Buntton V

LCH*Ma: 26 128 302

olv*Ma: 0.0 0.0 1.0

Dreiecks-Helligkeit t^* 

%Umfang

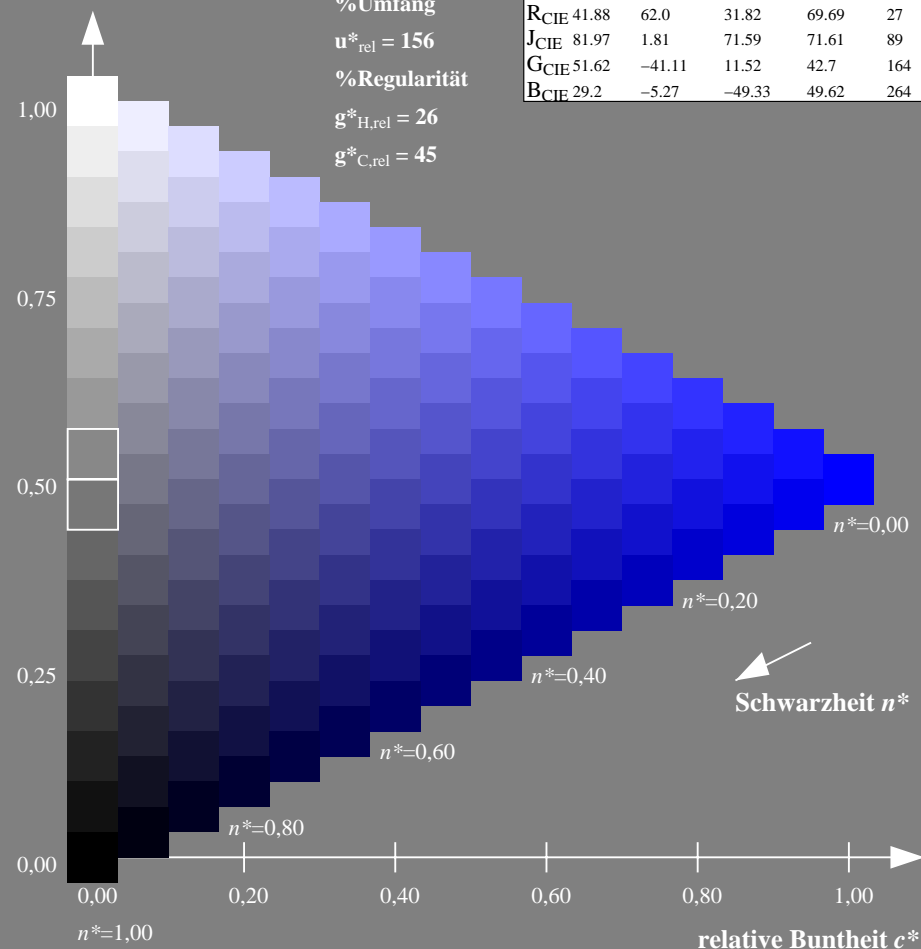
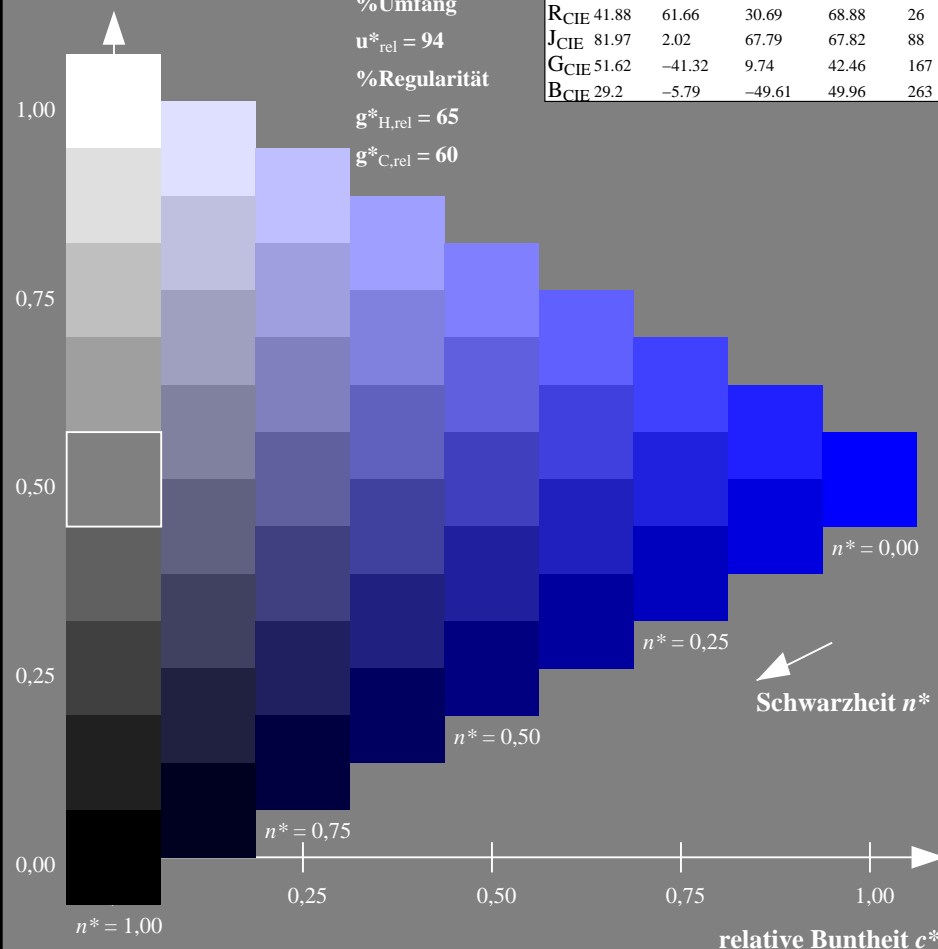
 $u^*_{rel} = 156$

%Regularität

 $g^*_{H,rel} = 26$ $g^*_{C,rel} = 45$

TLS00; adaptierte CIELAB-Daten

	$L^*=L^*_a$	a^*_a	b^*_a	$C^*_{ab,a}$	$h^*_{ab,a}$
O _{Ma}	54.19	79.36	63.0	101.33	38
Y _{Ma}	93.44	-14.18	82.59	83.8	100
L _{Ma}	82.82	-83.73	70.41	109.41	140
C _{Ma}	85.22	-55.9	-15.78	58.1	196
V _{Ma}	25.61	67.05	-108.87	127.87	302
M _{Ma}	58.76	91.18	-53.69	105.82	330
N _{Ma}	0.01	0.0	0.0	0.0	0
W _{Ma}	95.41	0.0	0.0	0.0	0
R _{CIE}	41.88	62.0	31.82	69.69	27
J _{CIE}	81.97	1.81	71.59	71.61	89
G _{CIE}	51.62	-41.11	11.52	42.7	164
B _{CIE}	29.2	-5.27	-49.33	49.62	264



PG900-7, 9stufige Reihen für konstanten CIELAB Buntton 305/360 = 0.847 (links)

BAM-Prüfvorlage PG90; Farbmétrik-Systeme ORS18 & ORS18 input: olv* setrgbcolor

D50: 9 und 16stufige Farbreihen für 10 Bunttöne

16stufige Reihen für konstanten CIELAB Buntton 302/360 = 0.838 (rechts)

output: Startup (S) data dependend

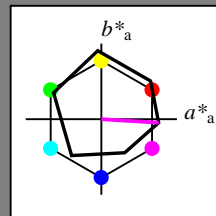
Eingabe: Farbmétrisches Offset-Reflektiv-System ORS18

für Buntton $h^* = lab^*h = 356/360 = 0.99$ lab^*tch und lab^*nch

D50: Buntton M

LCH*Ma: 50 76 356

olv*Ma: 1.0 0.0 1.0



ORS18; adaptierte CIELAB-Daten

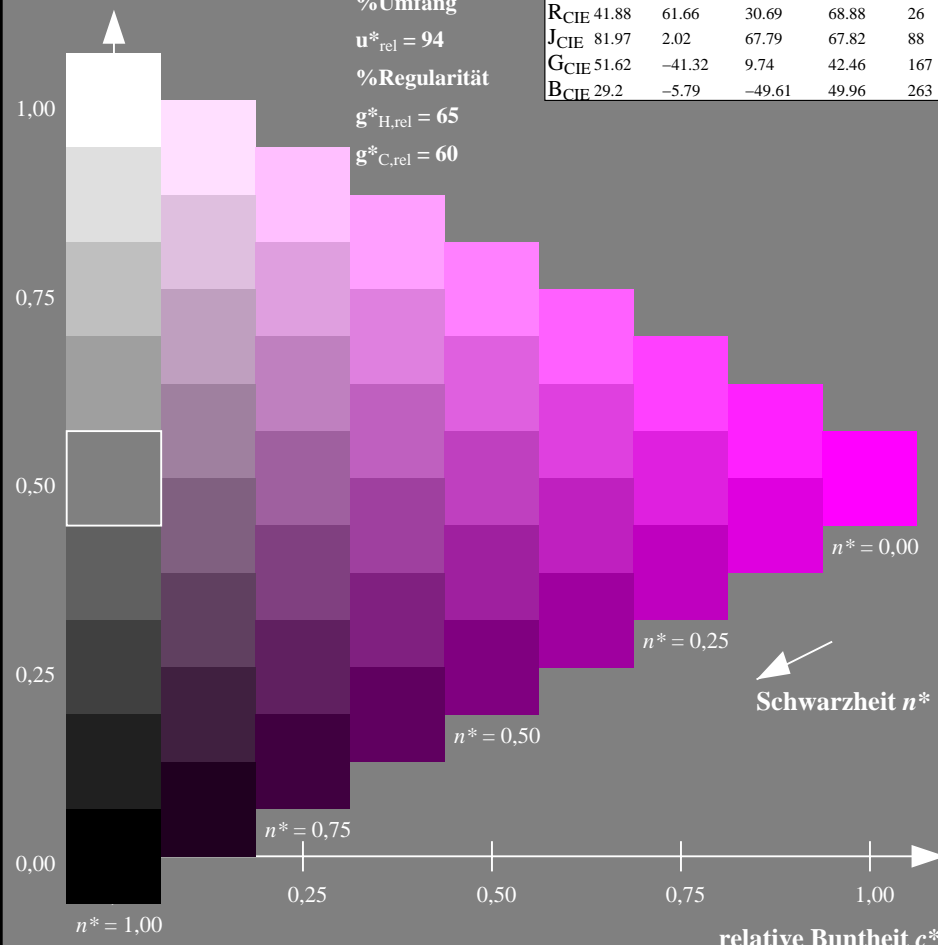
	$L^*=L_a^*$	a_a^*	b_a^*	$C_{ab,a}^*$	$h_{ab,a}^*$
O _{Ma}	47.94	65.05	50.54	82.38	38
Y _{Ma}	91.0	-4.72	90.58	90.7	93
L _{Ma}	50.9	-63.18	34.98	72.22	151
C _{Ma}	56.99	-39.34	-48.1	62.16	231
V _{Ma}	25.72	30.89	-44.4	54.09	305
M _{Ma}	49.99	75.76	-4.64	75.9	356
N _{Ma}	18.09	0.0	0.0	0.0	0
W _{Ma}	95.46	0.0	0.0	0.0	0
R _{CIE}	41.88	61.66	30.69	68.88	26
J _{CIE}	81.97	2.02	67.79	67.82	88
G _{CIE}	51.62	-41.32	9.74	42.46	167
B _{CIE}	29.2	-5.79	-49.61	49.96	263

Dreiecks-Helligkeit t^*

%Umfang

 $u_{rel}^* = 94$

%Regularität

 $g_{H,rel}^* = 65$ $g_{C,rel}^* = 60$ 

PG900-7, 9stufige Reihen für konstanten CIELAB Buntton 356/360 = 0.99 (links)

BAM-Prüfvorlage PG90; Farbmétrik-Systeme ORS18 & ORS18 input: olv* setrgbcolor

D50: 9 und 16stufige Farbreihen für 10 Bunttöne

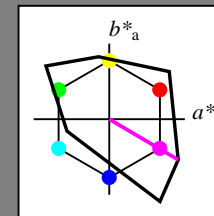
Ausgabe: Farbmétrisches Fernseh-Licht-System TLS00

für Buntton $h^* = lab^*h = 330/360 = 0.915$ lab^*tch und lab^*nch

D50: Buntton M

LCH*Ma: 59 106 330

olv*Ma: 1.0 0.0 1.0



TLS00; adaptierte CIELAB-Daten

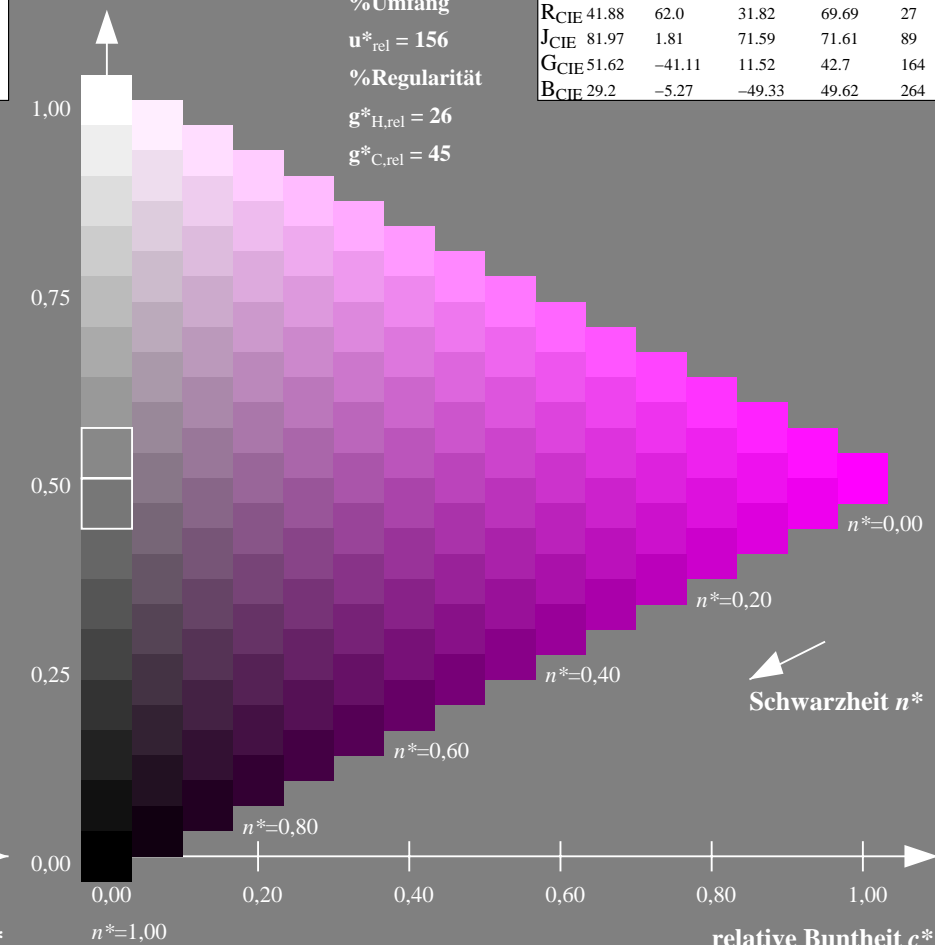
	$L^*=L_a^*$	a_a^*	b_a^*	$C_{ab,a}^*$	$h_{ab,a}^*$
O _{Ma}	54.19	79.36	63.0	101.33	38
Y _{Ma}	93.44	-14.18	82.59	83.8	100
L _{Ma}	82.82	-83.73	70.41	109.41	140
C _{Ma}	85.22	-55.9	-15.78	58.1	196
V _{Ma}	25.61	67.05	-108.87	127.87	302
M _{Ma}	58.76	91.18	-53.69	105.82	330
N _{Ma}	0.01	0.0	0.0	0.0	0
W _{Ma}	95.41	0.0	0.0	0.0	0
R _{CIE}	41.88	62.0	31.82	69.69	27
J _{CIE}	81.97	1.81	71.59	71.61	89
G _{CIE}	51.62	-41.11	11.52	42.7	164
B _{CIE}	29.2	-5.27	-49.33	49.62	264

Dreiecks-Helligkeit t^*

%Umfang

 $u_{rel}^* = 156$

%Regularität

 $g_{H,rel}^* = 26$ $g_{C,rel}^* = 45$ 

16stufige Reihen für konstanten CIELAB Buntton 330/360 = 0.915 (rechts)

output: Startup (S) data dependend

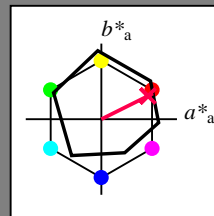
Eingabe: Farbmétrisches Offset-Reflektiv-System ORS18

für Buntton $h^* = lab^*h = 26/360 = 0.074$ lab^*tch und lab^*nch

D50: Buntton R

LCH*Ma: 49 76 26

olv*Ma: 1.0 0.0 0.3



ORS18; adaptierte CIELAB-Daten

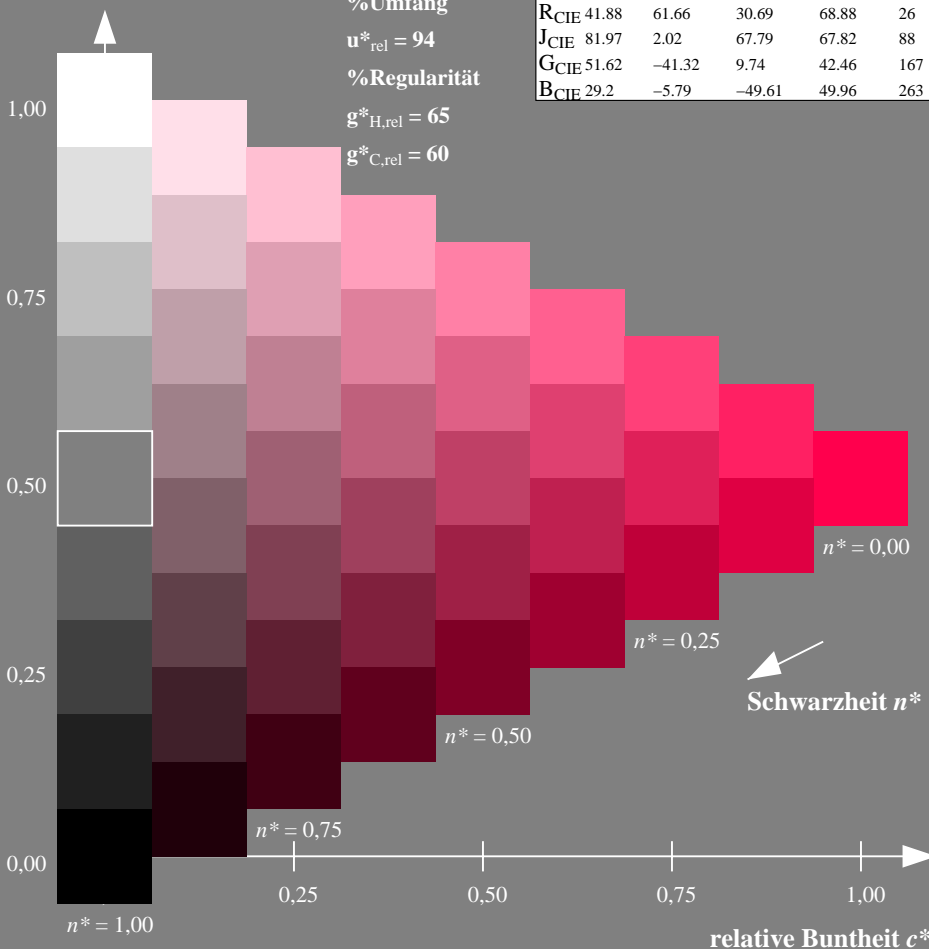
	$L^*=L^*_a$	a^*_a	b^*_a	$C^*_{ab,a}$	$h^*_{ab,a}$
O _{Ma}	47.94	65.05	50.54	82.38	38
Y _{Ma}	91.0	-4.72	90.58	90.7	93
L _{Ma}	50.9	-63.18	34.98	72.22	151
C _{Ma}	56.99	-39.34	-48.1	62.16	231
V _{Ma}	25.72	30.89	-44.4	54.09	305
M _{Ma}	49.99	75.76	-4.64	75.9	356
N _{Ma}	18.09	0.0	0.0	0.0	0
W _{Ma}	95.46	0.0	0.0	0.0	0
R _{CIE}	41.88	61.66	30.69	68.88	26
J _{CIE}	81.97	2.02	67.79	67.82	88
G _{CIE}	51.62	-41.32	9.74	42.46	167
B _{CIE}	29.2	-5.79	-49.61	49.96	263

Dreiecks-Helligkeit t^*

%Umfang

 $u^*_{rel} = 94$

%Regularität

 $g^*_{H,rel} = 65$ $g^*_{C,rel} = 60$ 

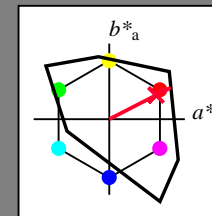
Ausgabe: Farbmétrisches Fernseh-Licht-System TLS00

für Buntton $h^* = lab^*h = 27/360 = 0.075$ lab^*tch und lab^*nch

D50: Buntton R

LCH*Ma: 55 92 27

olv*Ma: 1.0 0.0 0.18



TLS00; adaptierte CIELAB-Daten

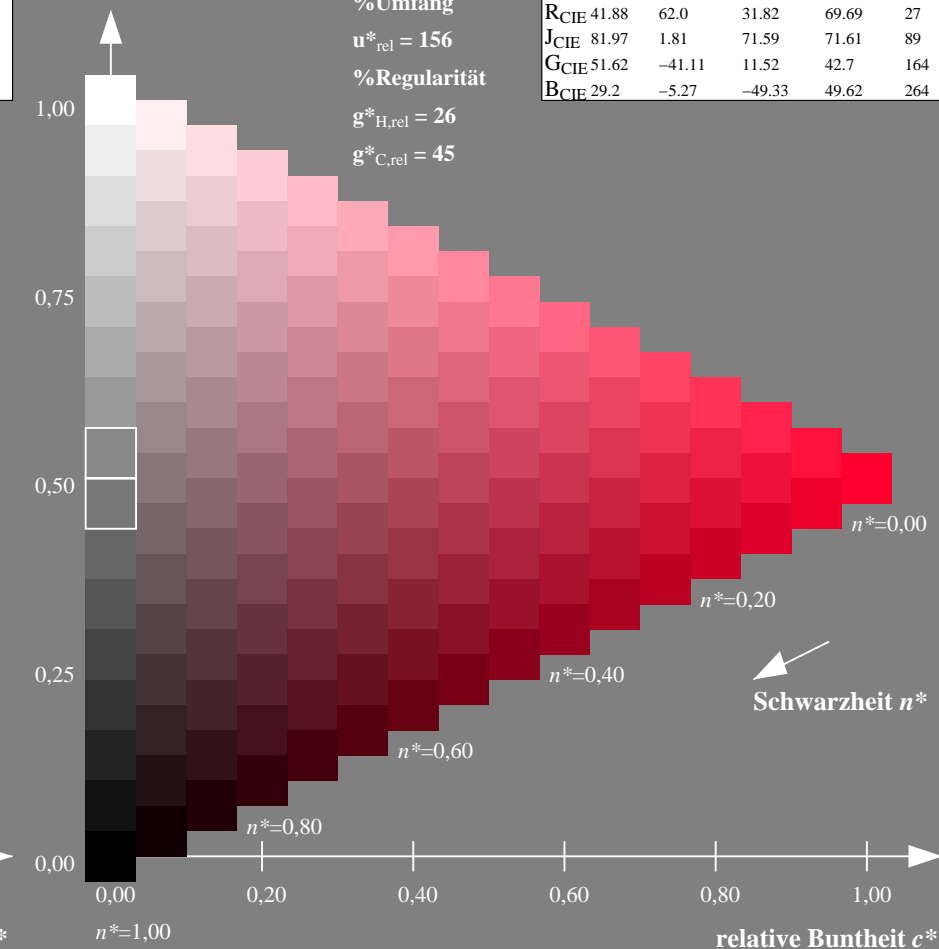
	$L^*=L^*_a$	a^*_a	b^*_a	$C^*_{ab,a}$	$h^*_{ab,a}$
O _{Ma}	54.19	79.36	63.0	101.33	38
Y _{Ma}	93.44	-14.18	82.59	83.8	100
L _{Ma}	82.82	-83.73	70.41	109.41	140
C _{Ma}	85.22	-55.9	-15.78	58.1	196
V _{Ma}	25.61	67.05	-108.87	127.87	302
M _{Ma}	58.76	91.18	-53.69	105.82	330
N _{Ma}	0.01	0.0	0.0	0.0	0
W _{Ma}	95.41	0.0	0.0	0.0	0
R _{CIE}	41.88	62.0	31.82	69.69	27
J _{CIE}	81.97	1.81	71.59	71.61	89
G _{CIE}	51.62	-41.11	11.52	42.7	164
B _{CIE}	29.2	-5.27	-49.33	49.62	264

Dreiecks-Helligkeit t^*

%Umfang

 $u^*_{rel} = 156$

%Regularität

 $g^*_{H,rel} = 26$ $g^*_{C,rel} = 45$ 

PG900-7, 9stufige Reihen für konstanten CIELAB Buntton 26/360 = 0.074 (links)

16stufige Reihen für konstanten CIELAB Buntton 27/360 = 0.075 (rechts)

BAM-Prüfvorlage PG90; Farbmétrik-Systeme ORS18 & ORS18 input: olv* setrgbcolor

D50: 9 und 16stufige Farbreihen für 10 Bunttöne

output: Startup (S) data dependend

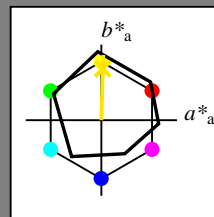
Eingabe: Farbmétrisches Offset-Reflektiv-System ORS18

für Buntton $h^* = lab^*h = 88/360 = 0.245$ lab^*tch und lab^*nch

D50: Buntton J

LCH*Ma: 86 86 88

olv*Ma: 1.0 0.9 0.0

Dreiecks-Helligkeit t^* 

%Umfang

 $u^*_{rel} = 94$

%Regularität

 $g^*_{H,rel} = 65$ $g^*_{C,rel} = 60$

ORS18; adaptierte CIELAB-Daten

	$L^*=L^*_a$	a^*_a	b^*_a	$C^*_{ab,a}$	$h^*_{ab,a}$
O _{Ma}	47.94	65.05	50.54	82.38	38
Y _{Ma}	91.0	-4.72	90.58	90.7	93
L _{Ma}	50.9	-63.18	34.98	72.22	151
C _{Ma}	56.99	-39.34	-48.1	62.16	231
V _{Ma}	25.72	30.89	-44.4	54.09	305
M _{Ma}	49.99	75.76	-4.64	75.9	356
N _{Ma}	18.09	0.0	0.0	0.0	0
W _{Ma}	95.46	0.0	0.0	0.0	0
R _{CIE}	41.88	61.66	30.69	68.88	26
J _{CIE}	81.97	2.02	67.79	67.82	88
G _{CIE}	51.62	-41.32	9.74	42.46	167
B _{CIE}	29.2	-5.79	-49.61	49.96	263

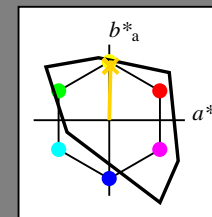
Ausgabe: Farbmétrisches Fernseh-Licht-System TLS00

für Buntton $h^* = lab^*h = 89/360 = 0.246$ lab^*tch und lab^*nch

D50: Buntton J

LCH*Ma: 87 79 89

olv*Ma: 1.0 0.83 0.0

Dreiecks-Helligkeit t^* 

%Umfang

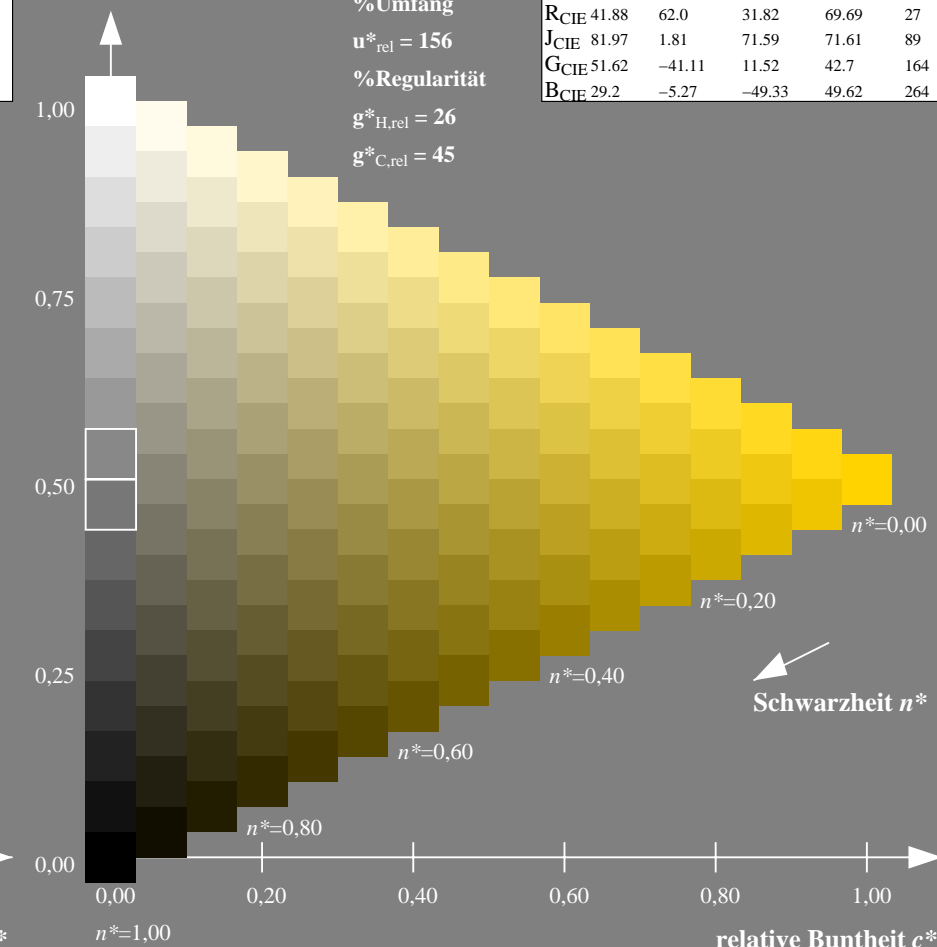
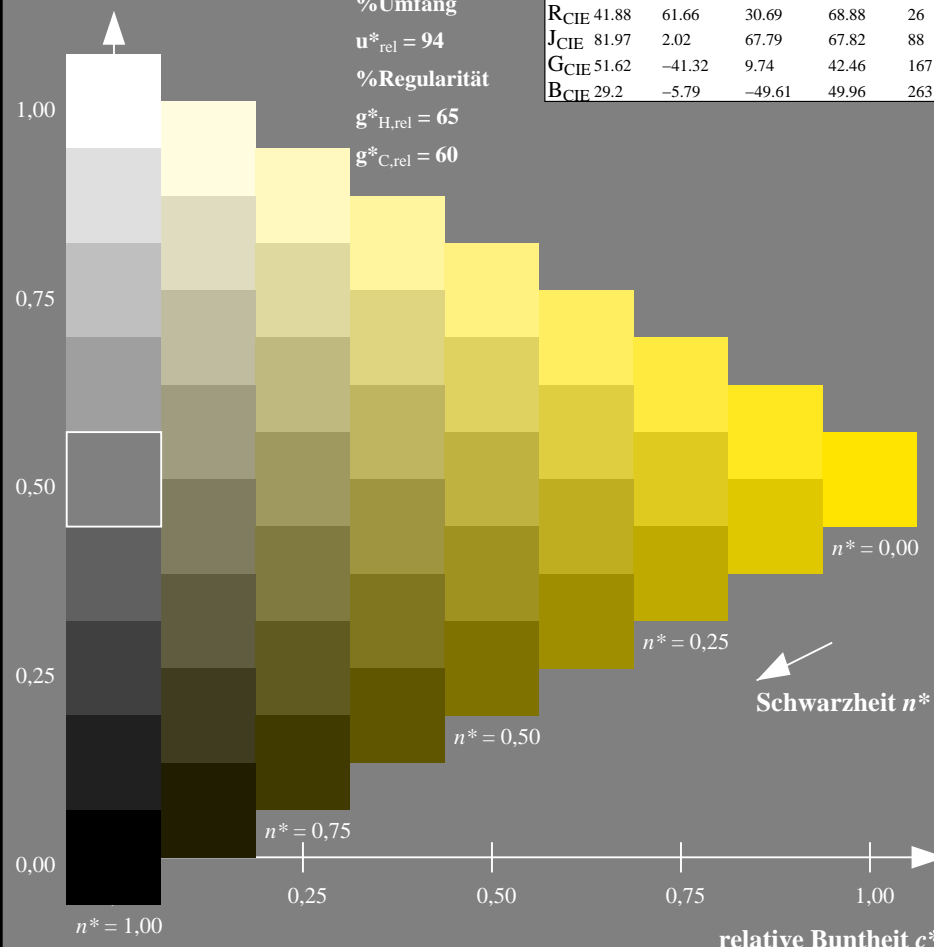
 $u^*_{rel} = 156$

%Regularität

 $g^*_{H,rel} = 26$ $g^*_{C,rel} = 45$

TLS00; adaptierte CIELAB-Daten

	$L^*=L^*_a$	a^*_a	b^*_a	$C^*_{ab,a}$	$h^*_{ab,a}$
O _{Ma}	54.19	79.36	63.0	101.33	38
Y _{Ma}	93.44	-14.18	82.59	83.8	100
L _{Ma}	82.82	-83.73	70.41	109.41	140
C _{Ma}	85.22	-55.9	-15.78	58.1	196
V _{Ma}	25.61	67.05	-108.87	127.87	302
M _{Ma}	58.76	91.18	-53.69	105.82	330
N _{Ma}	0.01	0.0	0.0	0.0	0
W _{Ma}	95.41	0.0	0.0	0.0	0
R _{CIE}	41.88	62.0	31.82	69.69	27
J _{CIE}	81.97	1.81	71.59	71.61	89
G _{CIE}	51.62	-41.11	11.52	42.7	164
B _{CIE}	29.2	-5.27	-49.33	49.62	264



PG900-7, 9stufige Reihen für konstanten CIELAB Buntton 88/360 = 0.245 (links)

BAM-Prüfvorlage PG90; Farbmétrik-Systeme ORS18 & ORS18 input: olv* setrgbcolor

D50: 9 und 16stufige Farbreihen für 10 Bunttöne

16stufige Reihen für konstanten CIELAB Buntton 89/360 = 0.246 (rechts)

output: Startup (S) data dependend

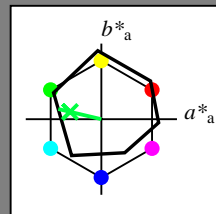
Eingabe: Farbmatisches Offset-Reflektiv-System ORS18

für Buntton $h^* = lab^*h = 167/360 = 0.463$ lab^*tch und lab^*nch

D50: Buntton G

LCH*Ma: 52 59 167

olv*Ma: 0.0 1.0 0.26

Dreiecks-Helligkeit t^* 

%Umfang

 $u^*_{rel} = 94$

%Regularität

 $g^*_{H,rel} = 65$ $g^*_{C,rel} = 60$

ORS18; adaptierte CIELAB-Daten

	$L^*=L^*_a$	a^*_a	b^*_a	$C^*_{ab,a}$	$h^*_{ab,a}$
O _{Ma}	47.94	65.05	50.54	82.38	38
Y _{Ma}	91.0	-4.72	90.58	90.7	93
L _{Ma}	50.9	-63.18	34.98	72.22	151
C _{Ma}	56.99	-39.34	-48.1	62.16	231
V _{Ma}	25.72	30.89	-44.4	54.09	305
M _{Ma}	49.99	75.76	-4.64	75.9	356
N _{Ma}	18.09	0.0	0.0	0.0	0
W _{Ma}	95.46	0.0	0.0	0.0	0
R _{CIE}	41.88	61.66	30.69	68.88	26
J _{CIE}	81.97	2.02	67.79	67.82	88
G _{CIE}	51.62	-41.32	9.74	42.46	167
B _{CIE}	29.2	-5.79	-49.61	49.96	263

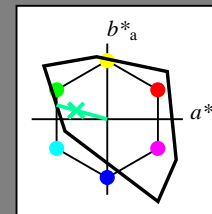
Ausgabe: Farbmatisches Fernseh-Licht-System TLS00

für Buntton $h^* = lab^*h = 164/360 = 0.457$ lab^*tch und lab^*nch

D50: Buntton G

LCH*Ma: 84 70 164

olv*Ma: 0.0 1.0 0.6

Dreiecks-Helligkeit t^* 

%Umfang

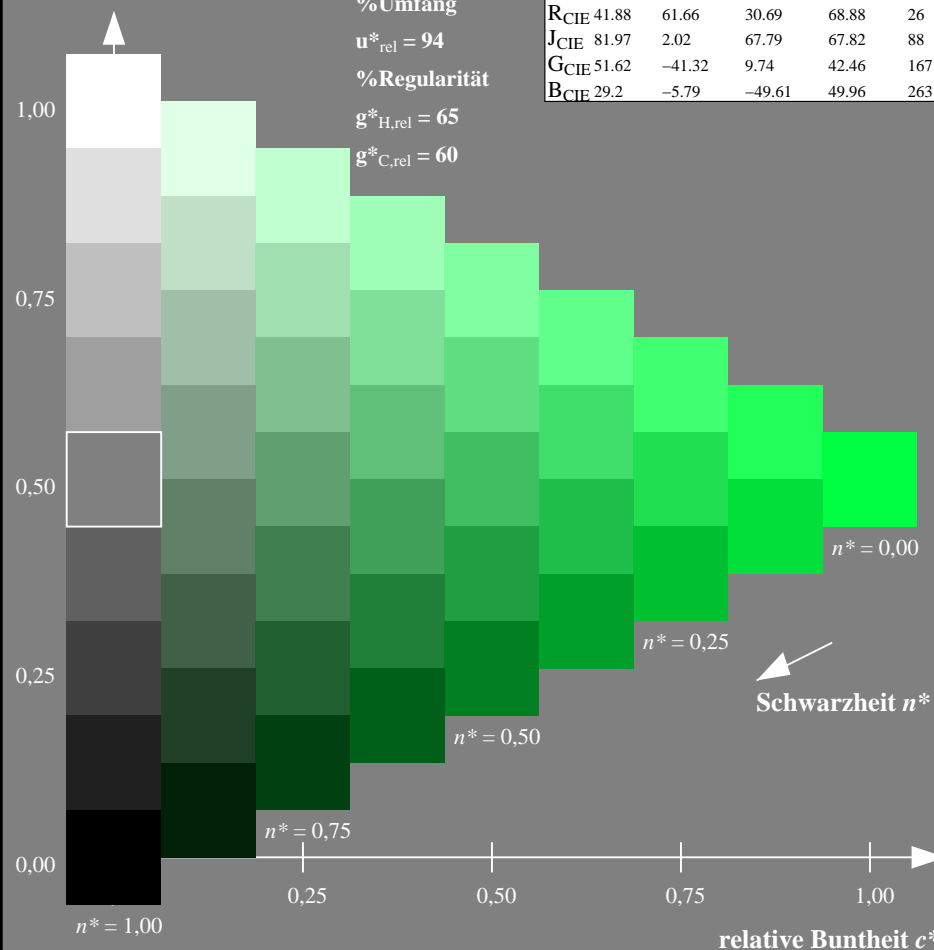
 $u^*_{rel} = 156$

%Regularität

 $g^*_{H,rel} = 26$ $g^*_{C,rel} = 45$

TLS00; adaptierte CIELAB-Daten

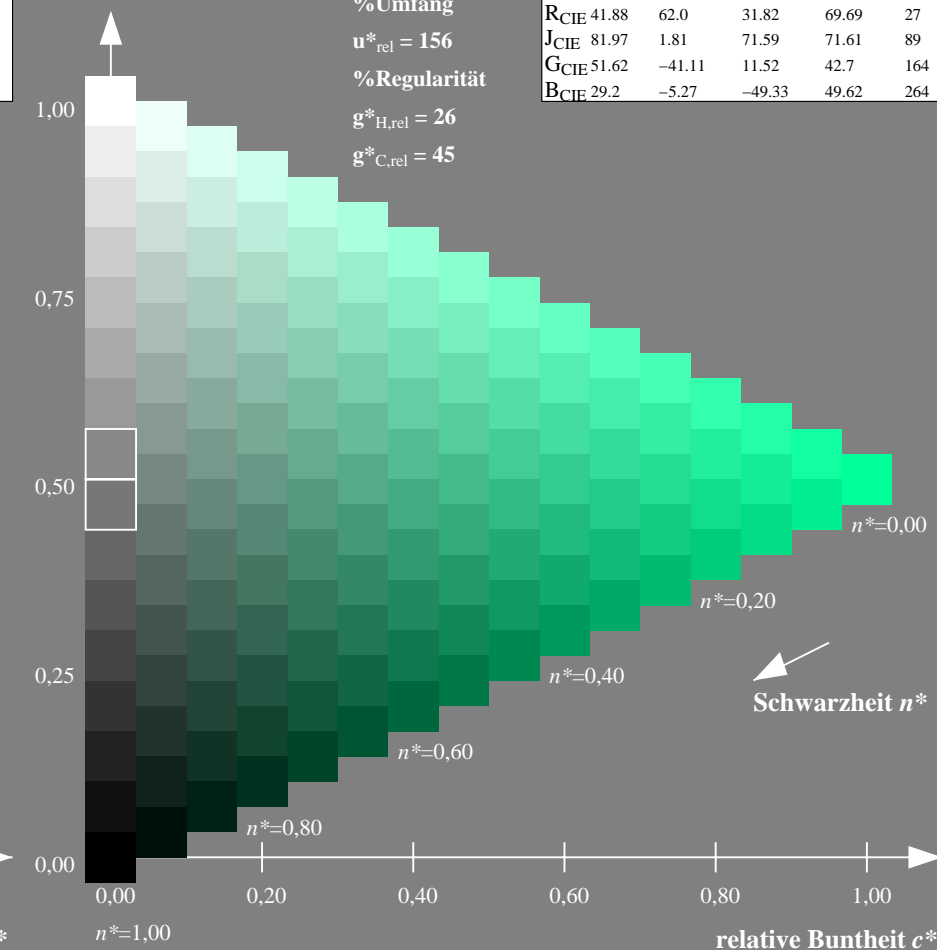
	$L^*=L^*_a$	a^*_a	b^*_a	$C^*_{ab,a}$	$h^*_{ab,a}$
O _{Ma}	54.19	79.36	63.0	101.33	38
Y _{Ma}	93.44	-14.18	82.59	83.8	100
L _{Ma}	82.82	-83.73	70.41	109.41	140
C _{Ma}	85.22	-55.9	-15.78	58.1	196
V _{Ma}	25.61	67.05	-108.87	127.87	302
M _{Ma}	58.76	91.18	-53.69	105.82	330
N _{Ma}	0.01	0.0	0.0	0.0	0
W _{Ma}	95.41	0.0	0.0	0.0	0
R _{CIE}	41.88	62.0	31.82	69.69	27
J _{CIE}	81.97	1.81	71.59	71.61	89
G _{CIE}	51.62	-41.11	11.52	42.7	164
B _{CIE}	29.2	-5.27	-49.33	49.62	264



PG900-7, 9stufige Reihen für konstanten CIELAB Buntton 167/360 = 0.463 (links)

BAM-Prüfvorlage PG90; Farbmeter-Systeme ORS18 & ORS18 input: olv* setrgbcolor

D50: 9 und 16stufige Farbreihen für 10 Bunttöne



16stufige Reihen für konstanten CIELAB Buntton 164/360 = 0.457 (rechts)

output: Startup (S) data dependend

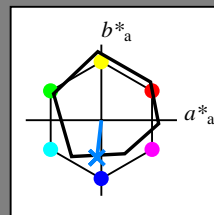
Eingabe: Farbmatisches Offset-Reflektiv-System ORS18

für Buntton $h^* = lab^*h = 263/360 = 0.731$ lab^*tch und lab^*nch

D50: Buntton B

LCH*Ma: 42 47 263

olv*Ma: 0.0 0.52 1.0



ORS18; adaptierte CIELAB-Daten

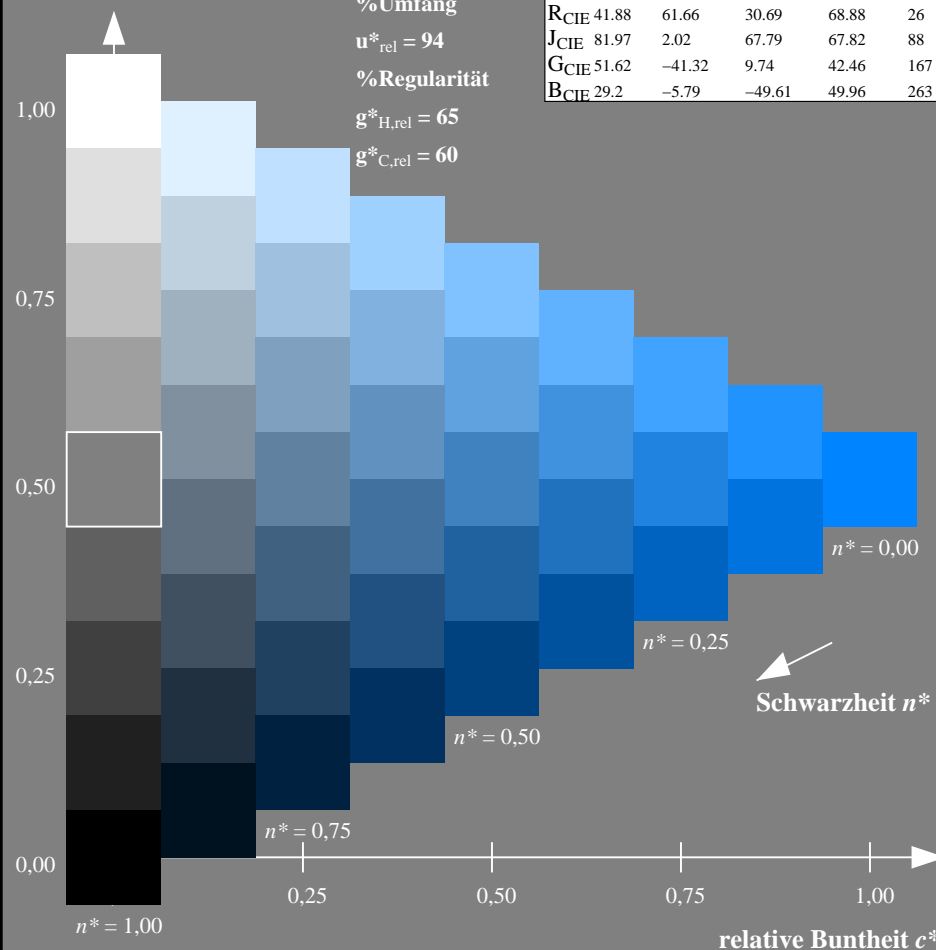
	$L^*=L^*_a$	a^*_a	b^*_a	$C^*_{ab,a}$	$h^*_{ab,a}$
O _{Ma}	47.94	65.05	50.54	82.38	38
Y _{Ma}	91.0	-4.72	90.58	90.7	93
L _{Ma}	50.9	-63.18	34.98	72.22	151
C _{Ma}	56.99	-39.34	-48.1	62.16	231
V _{Ma}	25.72	30.89	-44.4	54.09	305
M _{Ma}	49.99	75.76	-4.64	75.9	356
N _{Ma}	18.09	0.0	0.0	0.0	0
W _{Ma}	95.46	0.0	0.0	0.0	0
R _{CIE}	41.88	61.66	30.69	68.88	26
J _{CIE}	81.97	2.02	67.79	67.82	88
G _{CIE}	51.62	-41.32	9.74	42.46	167
B _{CIE}	29.2	-5.79	-49.61	49.96	263

Dreiecks-Helligkeit t^*

%Umfang

 $u^*_{rel} = 94$

%Regularität

 $g^*_{H,rel} = 65$ $g^*_{C,rel} = 60$ 

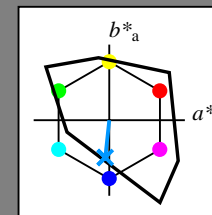
Ausgabe: Farbmatisches Fernseh-Licht-System TLS00

für Buntton $h^* = lab^*h = 264/360 = 0.733$ lab^*tch und lab^*nch

D50: Buntton B

LCH*Ma: 61 54 264

olv*Ma: 0.0 0.59 1.0



TLS00; adaptierte CIELAB-Daten

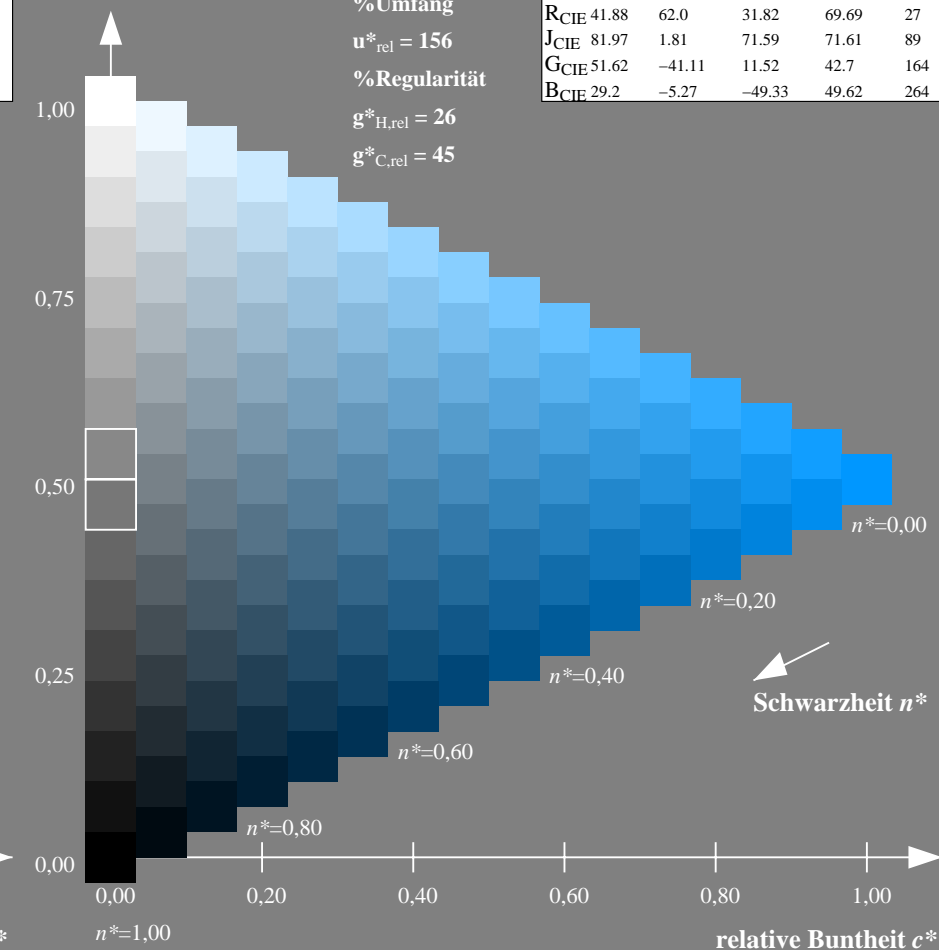
	$L^*=L^*_a$	a^*_a	b^*_a	$C^*_{ab,a}$	$h^*_{ab,a}$
O _{Ma}	54.19	79.36	63.0	101.33	38
Y _{Ma}	93.44	-14.18	82.59	83.8	100
L _{Ma}	82.82	-83.73	70.41	109.41	140
C _{Ma}	85.22	-55.9	-15.78	58.1	196
V _{Ma}	25.61	67.05	-108.87	127.87	302
M _{Ma}	58.76	91.18	-53.69	105.82	330
N _{Ma}	0.01	0.0	0.0	0.0	0
W _{Ma}	95.41	0.0	0.0	0.0	0
R _{CIE}	41.88	62.0	31.82	69.69	27
J _{CIE}	81.97	1.81	71.59	71.61	89
G _{CIE}	51.62	-41.11	11.52	42.7	164
B _{CIE}	29.2	-5.27	-49.33	49.62	264

Dreiecks-Helligkeit t^*

%Umfang

 $u^*_{rel} = 156$

%Regularität

 $g^*_{H,rel} = 26$ $g^*_{C,rel} = 45$ 

PG900-7, 9stufige Reihen für konstanten CIELAB Buntton 263/360 = 0.731 (links)

16stufige Reihen für konstanten CIELAB Buntton 264/360 = 0.733 (rechts)

BAM-Prüfvorlage PG90; Farbmeter-Systeme ORS18 & ORS18 input: $olv^* setrgbcolor$

D50: 9 und 16stufige Farbreihen für 10 Bunttöne

output: Startup (S) data dependend